

## **Resultados**

**Integrantes:** Andrea Nonalaya , Marjory Rivera, Héctor Ortega.

### **Validez de contenido de Parenting Stress Index Short Form (PSI-SF)**

La validez de contenido se realizó con el apoyo de especialistas que revisaron los ítems bajo los criterios de Claridad, Congruencia, Contexto y Dominio del contexto. El grupo de expertos se conformó por: dos psicólogos educativos con grado de Magister y una psicóloga clínica con grado de licenciada que están dedicados a la docencia e investigación.

Se procedió a evaluar los ítems a través del método V de Aiken, los ítems con valores iguales o superiores a 0.70, fueron considerados válidos para ser incluidos en el instrumento (Escrura, 1998). En los ítems 10 ,14,15,27, y 30 presentan observaciones por los jueces en la claridad de comprender el ítem (ver tabla 1). Tomando en cuenta las recomendaciones el ítem 10 “Mi capacidad de realizar trabajos de investigación aumenta con el tiempo”, fue modificada por” Mi capacidad de realizar trabajos de investigación, incluyendo habilidades de análisis, síntesis y redacción, aumenta con el tiempo”. El ítem 14 “Tengo experiencia en la investigación “fue modificado por “He adquirido habilidades de investigación a través de mi experiencia”, El ítem 15 “Gran parte de mi tiempo está ocupado en la investigación” fue modificado por “Utilizo eficazmente mi tiempo para realizar investigaciones”. El ítem 27 “Disfruto al investigar aun cuando tengo limitación.”, fue modificado por “Disfruto al investigar aun cuando tengo limitaciones.”. El ítem 30 “Me apasiono al dedicarle tiempo a la investigación”, fue modificado por “Siento pasión al dedicar tiempo a la investigación”. En caso de los ítems 2,11,12,13,23,36,38,41,42 fueron eliminados. El resto de los ítems no presentaron coeficientes por debajo de 0.70, significa que los ítems tienen son claros, congruentes y no tienen palabras fuera de nuestro contexto; de esta forma el instrumento obtiene validez de contenido.

**Tabla 1.** Validez de contenido del Parenting Stress Index Short Form (PSI-SF)

Items	V(Rele)	V(Cohe)	V(Clar)	V(Cont)
1	0.89	0.89	0.89	0,89
2	0.56	0.56	0.89	0.89
3	0.89	0.89	0.78	0.56
4	0.89	0.89	0.78	0.89
5	0.89	0.89	0.89	0.89
6	0.89	0.78	0.78	0.89
7	0.89	0.78	0.78	0.89
8	0.89	0.78	0.78	0.89
9	0.89	0.89	0.89	0.89
10	0.89	0.89	0.78	0.89
11	0.56	0.56	0.56	0.89
12	0.56	0.67	0.67	0.56
13	0.89	0.56	0.56	0.56
14	0.89	0.67	0.67	0.89
15	0.78	0.56	0.56	0.89
16	0.89	0.89	0.89	0.89
17	0.89	0.89	0.89	0.89
18	0.89	0.89	0.89	0.89
19	0.89	0.78	0.78	0.89
20	0.89	0.78	0.78	0.89
21	0.89	0.89	0.89	0.89
22	0.78	0.78	0.78	0.67
23	0.44	0.44	0.44	0.67
24	0.78	0.78	0.78	0.56
25	0.89	0.89	0.89	0.89
26	0.89	0.89	0.89	0.89

27	0.89	0.89	0.89	0.89
28	0.78	0.78	0.78	0.89
29	0.89	0.78	0.67	0.78
30	0.78	0.78	0.67	0.89
31	0.89	0.89	0.78	0.89
32	0.89	0.89	0.78	0.67
33	0.89	0.89	0.78	0.89
34	0.89	0.89	0.78	0.89
35	0.78	0.78	0.67	0.89
36	0.56	0.56	0.44	0.78
37	0.89	0.89	0.78	0.56
38	0.67	0.67	0.67	0.89
39	0.89	0.89	0.78	0.89
40	0.89	0.89	0.78	0.89
41	0.56	0.56	0.44	0.89
42	0.44	0.44	0.33	0.56

### **Análisis preliminar de los ítems**

Primero se procedió a realizar un análisis descriptivo de los ítems para determinar la distribución de la muestra, evaluando la media, desviación estándar, asimetría y curtosis. En la tabla 3 se observa que el ítem 30 presenta una puntuación media mayor ( $M=3.94$ ;  $DE=0.95$ ) y el ítem 11 la puntuación media más baja ( $M=3.50$ ;  $DE=0.86$ ). Respecto a la asimetría y la curtosis los valores se encuentran dentro de los límites recomendados de  $\pm 2.0$  (Rodríguez & Ruíz, 2008), esto indica que la mayoría de los ítems presentan una distribución aproximadamente normal.

**Tabla 2.** *Análisis preliminar de los ítems de Parenting Stress Index Short Form (PSI-SF)*

Ítems	<i>M</i>	<i>DE</i>	<i>g</i> <sup>1</sup>	<i>g</i> <sup>2</sup>
A1	3.81	0.85	-0.5	0.3
A2	3.69	0.88	-0.4	-0.1
A3	3.77	0.86	-0.5	0.4
A4	3.72	0.83	-0.3	0.1
A5	3.66	0.80	-0.1	-0.1
A6	3.74	0.78	-0.4	0.3
A7	3.63	0.82	-0.4	0.1
A8	3.75	0.88	-0.6	0.6
A9	3.79	0.84	-0.6	0.9
A10	3.76	0.86	-0.5	0.2
A11	3.50	0.86	-0.1	-0.4
A12	3.71	0.79	-0.4	0.2
A13	3.74	0.81	-0.4	0.1
A14	3.77	0.84	-0.6	0.5
A15	3.75	0.80	-0.6	0.4
A16	3.74	0.82	-0.5	0.6
A17	3.76	0.85	-0.5	0.3
A18	3.82	0.76	-0.4	0.2
A19	3.59	0.94	-0.4	-0.4
A20	3.64	0.91	-0.3	-0.3
A21	3.56	0.98	-0.5	-0.1
A22	3.56	0.99	-0.5	-0.2
A23	3.60	0.97	-0.5	-0.2
A24	3.59	0.94	-0.3	-0.3
A25	3.51	0.98	-0.4	-0.3
A26	3.52	0.96	-0.5	0.0
A27	3.54	1.01	-0.4	-0.4
A28	3.50	0.98	-0.4	-0.1
A29	3.85	0.97	-0.9	0.7
A30	3.94	0.95	-0.9	0.6
A31	3.67	0.97	-0.5	0.1
A32	3.74	0.95	-0.6	0.3
A33	3.76	0.97	-0.6	0.1

Nota: M = Media; DE = Desviación Estándar; g1 = Asimetría; g2 = Curtosis

#### 4.1. Validez de constructo de Parenting Stress Index Short Form (PSI-SF)

Antes de realizar el AFE se verificó el cumplimiento de los supuestos. En la tabla 4 se visualiza que el Kaiser-Meyer-Olkin (KMO) fue de .0.96, este coeficiente es considerado elevado (Kaiser, 1974). Adicionalmente, el test de esfericidad de Bartlett

reportó valores adecuado ( $\chi^2 = 134.07$ ;  $gl = 32$ ;  $p < .01$ ); Estos resultados indican que es apropiado el uso del AFE para explorar la dimensionalidad del constructo.

**Tabla 3.** Prueba KMO y Esfericidad de Bartlett

Prueba KMO	Esfericidad de Bartlett
0.96	$\chi^2 = 134.07$ ; $gl = 32$ ; $p = .000$

Seguidamente para determinar el número de factores del constructo se utilizó el método de análisis paralelo.

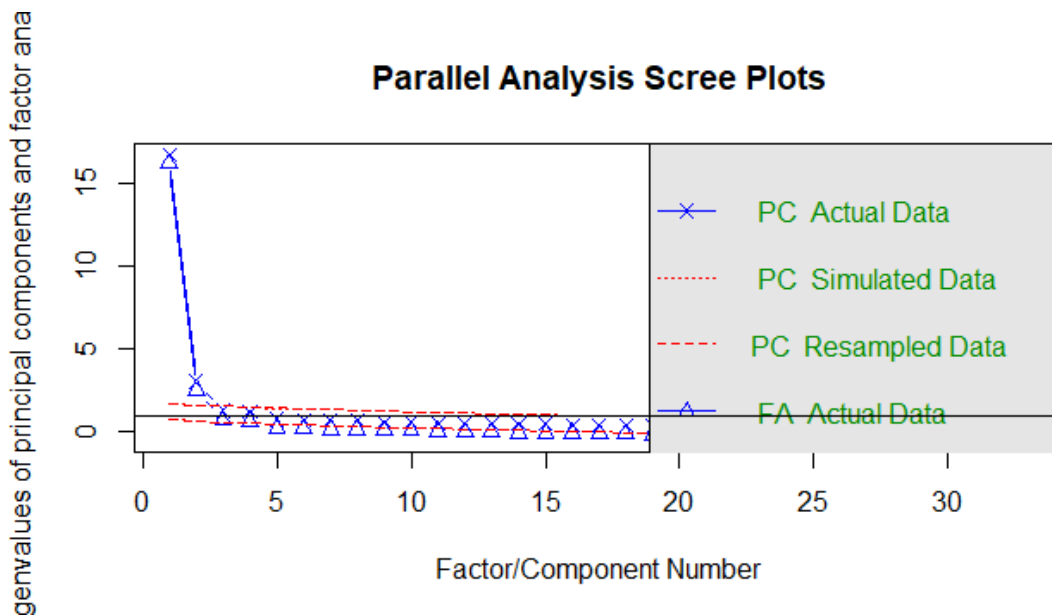


Figura 1. Análisis Paralelo de la variable

En la figura 1, se visualiza que el análisis paralelo sugiere la existencia de una estructura de tres factores latentes subyacente a los ítems. Esto satisface el modelo propuesto del constructo.

### Análisis factorial exploratorio

Para evaluar la estructura interna de la escala, se empleó el método de máxima verosimilitud (ML) con rotación oblimin. En la tabla 4 se presenta los resultados del AFE. Los hallazgos indican que los tres factores encontrados explican en conjunto el 40.0% de

la varianza acumulada; la mayoría de los ítems presentan pesos factoriales altos con el factor que le corresponde, evidenciando la simplicidad factorial obtenida. El primer factor está constituido por 18 ítems que permite explicar el 49% de la varianza total; este factor ha sido denominado “Habilidad”. El segundo factor conformado por 15 ítems explica el 9% de la varianza total; este factor ha sido denominado “Emociones”. Por otro lado, se visualiza que las cargas factoriales de los ítems oscilan entre 0.304 a 0.848 superan el mínimo recomendado de .30. En resumen, en la tabla 4 se visualiza la presencia de tres factores con 33 ítems con pesos factoriales adecuados.

**Tabla 4.** *Análisis factorial exploratorio con rotación oblicua*

Ítems	H	E
Ítem 1	<b>.442</b>	<b>.434</b>

Ítems	H	E
Ítem 2	.534	.409
Ítem 3	.519	.406
Ítem 4	.533	.433
Ítem 5	.552	.415
Ítem 6	.627	.400
Ítem 7	.634	
Ítem 8	.636	
Ítem 9	.658	.363
Ítem 10	.631	.409
Ítem 11	.634	
Ítem 12	.708	.304
Ítem 13	.667	
Ítem 14	.681	.319
Ítem 15	.712	.308
Ítem 16	.692	.
Ítem 17	.713	
Ítem 18	.661	
Ítem 19	.737	
Ítem 20	.791	
Ítem 21	.789	
Ítem 22	.796	
Ítem 23	.803	
Ítem 24	.773	
Ítem 25	.797	.334
Ítem 26	.816	
Ítem 27	.764	
Ítem 28	.848	.353
Ítem 29	.672	
Ítem 30	.677	
Ítem 31	.818	
Ítem 32	.730	
Ítem 33	.753	
% Varianza explicada	16.0	2.8

*Nota: =Habilidad; E=Emociones.*